

УДК 535.371+535.5

## ПОЛЯРИЗАЦИЯ ФОСФОРЕСЦЕНЦИИ ДИМЕРОВ Си-ЭТИОПОРФИРИНА I И VO-ЭТИОПОРФИРИНА I

*С. С. Дворников, А. Н. Севченко, К. Н. Соловьев и М. П. Цвирко*

Исследованы поляризационные спектры фосфоресценции димеров Си- и VO-этиопорфиринов I (Си- и VO-этио), образующихся в петролейном эфире при 77 К. Установлено, что поляризационный спектр димера Си-этио представляет собой прямую линию, соответствующую значению степени поляризации 14%, в то время как поляризационный спектр димера VO-этио имеет четко выраженную структуру, причем значение степени поляризации при возбуждении в длинноволновой полосе поглощения димера достигает 45%. Сделан вывод, что димер Си-этио имеет симметрию  $D_{4h}$ , а димер VO-этио —  $C_{2v}$ . Данна интерпретация спектров поглощения димеров Си- и VO-этио. Обсуждается вопрос о структуре димеров Си- и VO-этио.

Важность и актуальность исследований пигмент-пигментных взаимодействий обусловлена широкой распространностью соединений ряда порфина в природе. Высокая локальная концентрация пигментов в живой клетке, в частности хлорофилла и бактериохлорофилла, обусловливает достаточно сильные межмолекулярные взаимодействия, приводя в ряде случаев к агрегации молекул. Механизм агрегации и спектральные эффекты, наблюдаемые при этом, трудны для исследования и интерпретации в связи с большой сложностью биологических систем. Поэтому несомненный интерес представляет изучение агрегации достаточно простых соединений ряда порфина в модельных условиях с целью установления корреляций типа структура исходной молекулы—структура димера—спектрально-люминесцентные свойства димера.

Ранее нами была исследована димеризация этиопорфирина I и его комплексов с ванадилом и медью в сухом неполярном растворителе — петролейном эфире при 77 К [1]. Изучены спектры поглощения, люминесценции, зависимость спектров люминесценции от длины волны возбуждающего света, а для металлокомплексов также относительный квантовый выход и длительность фосфоресценции мономеров и димеров и показано, что димеризация в этих условиях не приводит к увеличению вероятностей безызлучательных переходов. На основании анализа полученных данных с помощью экситонной теории молекулярных агрегатов в приближении точечного диполя, а также литературных данных по агрегации порфиринов предложены структуры димеров. Предложенные в [1] структуры можно рассматривать лишь как гипотетические, поскольку, во-первых, приближение точечного диполя при малых межплоскостных расстояниях в димере является чрезвычайно грубым [2, 3] и, во-вторых, из спектров поглощения и люминесценции в принципе невозможно определить все параметры, характеризующие геометрию димера, и необходимо привлекать дополнительные предположения.

С целью проверки применимости экситонной теории молекулярных агрегатов и оценки возможностей определения структуры агрегата на основании спектроскопических данных мы начали всестороннее исследование фотофизических свойств димеров порфиринов. В настоящей работе представлены результаты исследования поляризации фосфоресценции димеров Си- и VO-этиопорфиринов, образующихся в петролейном эфире при 77 К.

Спектры поглощения измерялись на регистрирующих спектрофотометрах СФ-14 и Unicam SP-800. Для низкотемпературных измерений в кюветное отделение спектрофотометра помещался маленький сосуд Дьюара. Измерение спектров возбуждения и поляризации фосфоресценции производилось на установке, описанной в [4]. Измерение степени поляризации производилось статическим методом. В качестве поляризатора и анализатора использовались поляроидные пленки.

## Результаты

### 1. Спектры поглощения и возбуждения фосфоресценции

VO-этиопорфирины. При комнатной температуре спектр поглощения VO-этиопорфирина (VO-этио) в петролейном эфире не зависит от концентрации и имеет типичный для металлопорфиринов вид — две по-

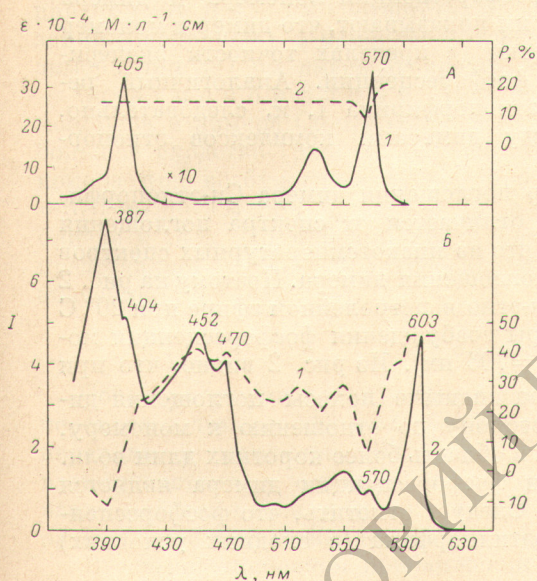


Рис. 1. VO-этиопорфирин I в петролейном эфире.

А — спектр поглощения при 293 К (1) и поляризационный спектр фосфоресценции мономера ( $\lambda_{\text{рег.}} = 705 \text{ нм}$ ) при 77 К (2); Б — спектр поглощения (1) и поляризационный спектр фосфоресценции ( $\lambda_{\text{рег.}} = 730 \text{ нм}$ ) (2) димера при 77 К.

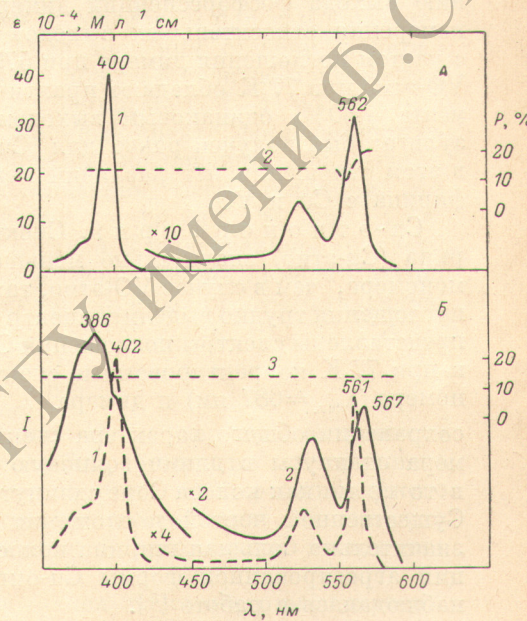


Рис. 2. Си-этиопорфирин I в петролейном эфире.

А — спектр поглощения при 293 К (1) и поляризационный спектр фосфоресценции мономера ( $\lambda_{\text{рег.}} = 786 \text{ нм}$ ) при 77 К (2); Б — спектры возбуждения фосфоресценции мономера ( $\lambda_{\text{рег.}} = 687 \text{ нм}$ ) (1), димера ( $\lambda_{\text{рег.}} = 703 \text{ нм}$ ) (2) и поляризационный спектр фосфоресценции димера ( $\lambda_{\text{рег.}} = 703 \text{ нм}$ ) (3) при 77 К.

лосы в видимой области спектра ( $\lambda_{\max} = 570$  и  $532 \text{ нм}$ ) и интенсивную полосу Cope ( $\lambda_{\max} = 405 \text{ нм}$ ) (рис. 1, А). При охлаждении раствора VO-этио в петролейном эфире до 77 К спектр поглощения существенно изменяется, появляется ряд новых полос, относительная интенсивность которых растет с увеличением концентрации. При размораживании растворов спектры принимают первоначальный вид. Концентрационная зависимость спектра поглощения VO-этио при 77 К в области длинноволновых полос (520—640 нм) дана в [1], где показано, что эти явления обусловлены димеризацией. На рис. 1, Б представлен полный спектр поглощения VO-этио в петролейном эфире при 77 К, который, согласно измерениям спектра возбуждения фосфоресценции димера, практически соответствует спектру поглощения

димера VO-этио. Максимум при 404 нм в этом спектре соответствует полосе Соре оставшегося мономерного VO-этио. Оценка концентрации мономера по интенсивности этой полосы показывает, что при 77 К в растворе осталось лишь 2.5% непроагрегировавших мономеров от исходной концентрации мономеров в растворе. Из этой оценки следует, что полоса при 570 нм в низкотемпературном спектре обусловлена не только поглощением оставшихся мономеров, как полагалось нами в [1], но и поглощением димеров. Наличие максимума при 570 нм в спектре поглощения димера подтверждается наблюдением в спектре возбуждения фосфоресценции димера аналогичной полосы, а также поляризационным спектром по фосфоресценции. Полученные данные позволяют устранить противоречие между данными по выходу и  $\tau$  фосфоресценции димера VO-этио в работе [1], в которой получено, что квантовый выход фосфоресценции димера в 3 раза больше, чем выход мономера при практически одинаковом  $\tau$  фосфоресценции. В работе [1] относительный выход фосфоресценции димера определялся в предположении, что полоса при 570 нм в низкотемпературном спектре поглощения соответствует оставшемуся мономеру, а димер в этой области не имеет максимумов в поглощении, что и привело к ошибочному завышению выхода фосфоресценции димера. Проведенные в настоящей работе измерения относительных выходов фосфоресценции мономера и димера с учетом поглощения димера при 570 нм показывают, что димер и мономер VO-этио при 77 К обладают практически (в пределах точности эксперимента  $\pm 30\%$ ) одинаковым выходом фосфоресценции. Аналогичный результат был получен ранее для Cu-этиопорфирина I, и, следовательно, в этом отношении нет различий между димерами комплексов этиопорфирина с Cu и VO.

**Cu-этиопорфирин.** Спектр поглощения димера Cu-этиопорфирина (Cu-этио) значительно меньше отличается от спектра поглощения мономера, чем в случае VO-этио, так что из низкотемпературных спектров поглощения трудно выделить спектр поглощения димера. Поэтому на рис. 2 представлены спектры поглощения Cu-этио в петролейном эфире при 20° С и при 77 К корректированные спектры возбуждения фосфоресценции мономера ( $\lambda_{per.} = 687$  нм) и димера ( $\lambda_{per.} = 703$  нм). Из рис. 2 видно, что при сохранении общего характера спектра видимые полосы поглощения димера сдвинуты в длинноволновую сторону по отношению к мономеру, в то время как полоса Соре сдвинута в область более коротких длин волн. Существенной чертой поглощения и фосфоресценции димера является значительно большая ширина полос. Следует отметить, что фосфоресценция агрегированной формы Cu-октаэтилпорфина (в сходных условиях) наблюдалась в работе [5].

## 2. Поляризационные спектры

С целью получения информации о числе электронных переходов в спектре поглощения димера, а также об их относительном направлении нами были измерены поляризационные спектры по фосфоресценции мономеров и димеров VO-этио.<sup>1</sup> Следует отметить также, что поляризационные измерения дают ценные сведения и о симметрии излучающей молекуллярной системы.

**VO-этиопорфирин.** Полученные экспериментальные данные представлены на рис. 1 и 2. Прежде чем рассматривать полученные результаты, необходимо отметить, что, согласно [6], в электронных спектрах металлопорфиринов, имеющих точную или приближенную симметрию  $D_{4h}$ , проявляются дважды вырожденные состояния (принадлежащие к типу симметрии  $E_g$ ) и поляризационные спектры как по флуоресценции, так и по фосфоресценции представляют собой прямую линию, соответствующую значению степени поляризации 14% по всему спектру поглощения. Недавние тщательные измерения поляризационных спектров люминесценции симметричных металлопорфиринов [7] показывают наличие

<sup>1</sup> Комплексы этиопорфирина с Cu и VO не флуоресцируют [6].

небольшого расщепления ( $\sim 100$  см $^{-1}$ ) вырожденных нижних синглетного и триплетного состояний, однако в полосе Соре степень поляризации по-прежнему близка к 14%. Наши измерения показывают, что при регистрации в области 0—0-полосы фосфоресценции мономера VO-этио ( $\lambda_{\text{пер.}} = 705$  нм и  $\Delta\lambda_{\text{пер.}} = 3$  нм) в области длинноволновой полосы поглощения также наблюдается характерное изменение степени поляризации от 24 до 9% с уменьшением длины волны возбуждения. Далее в области вибронной полосы поляризация осциллирует от 12 до 17%. В полосе Соре поляризация равна 14.4—14.5% и не зависит от  $\lambda$  возбуждения. Таким образом, поляризационный спектр мономера VO-этио имеет обычный для симметричных металлопорфиринов вид и в спектре поглощения, как и у других металлопорфиринов, проявляются дважды вырожденные состояния.<sup>2</sup>

Поляризационный спектр по фосфоресценции димера, измеренный при регистрации в максимуме 0—0-полосы фосфоресценции димера ( $\lambda_{\text{пер.}} = 730$  нм,  $\Delta\lambda_{\text{пер.}} = 3$  нм), существенно отличается от поляризационного спектра мономера. При возбуждении в области первой полосы поглощения димера (603 нм) поляризация фосфоресценции имеет высокие положительные значения (45%), затем при 565 нм в поляризационном спектре имеется резкий минимум ( $P=6.0\%$ ). Двум интенсивным полосам поглощения при 470 и 452 нм соответствуют высокие значения степени поляризации (около 40%), а наиболее интенсивная полоса в спектре поглощения димера при 387 нм имеет отрицательную поляризацию (-11%).

**Си-этатиопорфирин.** Поляризационный спектр фосфоресценции мономера и димера Си-этатиопорфирин, как и их спектры поглощения, показывают большое сходство (рис. 2). Степень поляризации фосфоресценции мономера при возбуждении в 0—0-полосе изменяется от 24% при  $\nu_{\text{возб.}} = 570$  нм до 9% при  $\nu_{\text{возб.}} = 555$  нм, а в остальной спектральной области близка к 14%. Поляризационный спектр фосфоресценции димера Си-этатиопорфирин представляет собой практически прямую линию, соответствующую значению  $P=14\%$ .

### Обсуждение

Согласно теории молекулярных экситонов [8, 9], энергия электронного перехода в димере  $\Delta E_{\pm}^{\pm} = \Delta E_m + \Delta H \pm \epsilon$ , где  $\Delta E_m$  — энергия электронного перехода в мономере,  $\Delta H$  — различие энергий вандерваальсовского взаимодействия в основном и возбужденном состояниях,  $\epsilon$  — энергия взаимодействия между молекулами в димере, определяющая экситонное расщепление состояний димера.

В точечно-дипольном приближении величина экситонного расщепления, поглощение ( $D_{\pm}$ ) и вращательная сила ( $R_{\pm}$ ) могут быть определены с помощью следующих соотношений:

$$D_{\pm} = \mu^2 \pm \mu_1 \mu_2 = \mu^2 [1 \pm \sin \Theta_2 \cos (\Phi_1 - \Phi_2)],$$

$$R_{\pm} = \pm (\pi \nu_0 / 2c) (\mathbf{R}_{12} \mu_1 \times \mu_2) = \pm (\pi \nu_0 / 2c) R \mu^2 \sin \Phi_1 \cos \Theta_2,$$

$$\nu_{\pm} = \nu_0 \pm V_{12},$$

$$\epsilon \equiv V_{12} = \frac{1}{R^3} \left[ \mu_1 \cdot \mu_2 - \frac{3 (\mathbf{R}_{12} \cdot \mu_1) (\mathbf{R}_{12} \cdot \mu_2)}{R^2} \right]$$

или проще

$$V_{12} = \frac{\mu^2}{R^3} [\sin \Theta_2 \cos (\Phi_1 - \Phi_2) - 3 \sin \Theta_1 \sin \Theta_2 \cos \Phi_1 \cos \Phi_2],$$

где  $R_{12} = R_2 - R_1$ ,  $R = |R_{12}|$  и  $\Theta$ ,  $\Phi$  дают ориентацию момента перехода  $\mu$  в сферической системе координат. Оси правой системы координат выби-рались с осью  $x$  вдоль  $\mathbf{R}_{12}$  и с  $\mu_1$  в плоскости  $xy$ .

Перейдем к обсуждению полученных данных. Рассмотрим сначала случай Си-этатиопорфирин как более простой.

<sup>2</sup> Мы сохраняем термин «вырожденные состояния», несмотря на снятие вырождения, поскольку расщепление невелико, а причина снятия вырождения не установлена.

**Си-этиопорфирин.** Полученные значения степени поляризации димера  $\sim 14\%$  показывают, что димер, как и мономер, обладает осью симметрии 4-го порядка и в спектре поглощения также проявляются дважды вырожденные состояния  $E_u$ . Из этих данных следует однозначно структура димера: молекулы расположены строго одна под одной с параллельными плоскостями, так называемая сандвичевая структура. Этот вывод хорошо согласуется с имеющимися в литературе данными по исследованию агрегации порфиринов методами ЯМР и ЭПР спектроскопии [1]. При такой структуре  $\Theta_1=\Theta_2=\Phi_1=\Phi_2=\pi/2$  и вследствие правил отбора переход в верхнее состояние разрешен, а в нижнее запрещен, т. е. должен наблюдаться коротковолновой сдвиг полос поглощения. Такой эффект действительно наблюдается для полосы Соре, соответствующей разрешенному переходу. Из этих данных можно рассчитать величину экситонного расщепления и в принципе рассчитать расстояние между молекулами в димере  $R$ . Однако необходимо учесть, что приближение точечного диполя является чрезвычайно грубым и неспособно в ряде случаев дать даже качественное описание свойств димеров. В частности, для соединений ряда порфина это было показано в работе [3], где было проведено экспериментальное и теоретическое изучение дифталоцианина кремния, в котором две металлофталоцианиновые молекулы расположены параллельно одна под другой на расстоянии 3.32 Å и связаны кислородным мостиком между двумя центральными атомами кремния. В работе [3] получено, что экспериментально наблюдаемая величина экситонного расщепления в 7.5 раза меньше рассчитанной в точечно-дипольном приближении. Оценим с учетом этого фактора расстояние между молекулами в димере Си-этио. Величина экситонного расщепления в полосе Соре составляет около 2000 см<sup>-1</sup> (рис. 2). Умножив это значение на 7.5, получаем  $R=[2.14 \cdot 10^{10} \varphi/\tilde{\nu}_e]^{1/3}=3.3$  Å. Полученное значение  $R$  согласуется с данными работы [10], где с помощью метода ЭПР была исследована агрегация ряда Си- и VO-порфиринов в замороженных хлороформовых растворах и для медных комплексов расстояние между центральными ионами металлов было оценено в 3.7–3.9±0.4 Å (для ванадиевых в 3.4–3.5±0.3 Å). Отметим также, что рентгеноструктурные данные дают межплоскостное расстояние для кристаллов производных порфина 3.4–3.5 Å [11, 12]. Хорошее согласие значений  $R$ , полученных различными методами, позволяет рекомендовать использование множителя 7.5 (по крайней мере для разрешенных переходов) при расчете величины  $R$  в димерах порфиринов с помощью формул, полученных в точечно-дипольном приближении. Расчет без учета фактора 7.5 дает  $R=6.5$  Å, которое сильно расходится с данными работ [10, 12].

Расчет величины экситонного расщепления  $\epsilon$  для видимой полосы Си-этио ( $\varphi=0.11$ ,  $\tilde{\nu}=17640$  см<sup>-1</sup>, при  $R=3.3$  Å и с учетом фактора 7.5) дает  $\epsilon=240$  см<sup>-1</sup>. При таком значении  $\epsilon$  мы должны бы были наблюдать коротковолновой сдвиг 0–0-полосы поглощения на 120 см<sup>-1</sup>. На эксперименте наблюдается длинноволновой сдвиг полосы на 180 см<sup>-1</sup>. Длинноволновой сдвиг этой полосы связан, по-видимому, не с экситонным расщеплением, а со смещением вследствие большей энергии вандерваальсовских взаимодействий в возбужденном состоянии по сравнению с основным. Таким образом, величина  $\Delta H$  для первого перехода составляет 180+120=300 см<sup>-1</sup>. Отметим, что оцененная величина смещения для уровня  $S_1$ , обусловленного нерезонансными взаимодействиями, приблизительно равна величине смещения уровня  $T_1$  (330 см<sup>-1</sup>).

Для триплетного состояния вследствие малости силы осциллятора экситонные эффекты несущественны и сдвиг должен быть обусловлен только нерезонансными взаимодействиями. Следует отметить значительно большую ширину (в 2.5–4.2 раза для различных полос) полос в спектре поглощения (возбуждения) и фосфоресценции димера по сравнению с мономером. Отмеченное уширение полос димера несомненно связано с неоднородным уширением вследствие образования в растворе димеров, несколько отличающихся по структуре. Различия могут быть прежде

всего в межплоскостном расстоянии  $R$ . Кроме того, по-видимому, возможны и другие отклонения от идеальной структуры  $D_{4h}$  — поворот одной молекулы относительно другой по оси симметрии 4-го порядка; сдвиг одной молекулы относительно другой. Все это приводит к изменению величины экситонного расщепления и уширению полос. В пользу такой интерпретации свидетельствует тот факт, что большее уширение (в 4.2 раза) проявляется для наиболее интенсивной полосы Соре.

**VO-этопорфирин.** Высокая степень поляризации фосфоресценции димера VO-этио при возбуждении в длинноволновой полосе поглощения ( $P_{0-0} = 45\%$ ) свидетельствует о снятии орбитального вырождения синглетных и триплетных уровней димера, а также о том, что длинноволновая полоса обусловлена переходами лишь в одно экситонное состояние. В случае, если бы был разрешен переход в оба экситонные состояния и величина расщепления была бы меньше полуширины полосы, то  $P_{0-0}$  было бы около 14% (при сопоставимой интенсивности полос). Если бы в димере был разрешен переход в обе компоненты, и величина расщепления была бы больше полуширины полос, спектр поглощения и поляризационный спектр были бы значительно сложнее. Спектр поглощения и поляризационной спектр димера в видимой области спектра напоминают соответствующие спектры металлокомплексов тетрафенилхлорина [13], филлоэритрина [14] и родопорфирина [15], также не имеющих осей симметрии четвертого порядка. Для этих соединений также характерна величина расщепления между I и II переходом 500—1000  $\text{cm}^{-1}$  и значительно большая интенсивность I электронного перехода.

На основании поляризационных данных спектр поглощения димера VO-этио в видимой области спектра может быть интерпретирован следующим образом. Полосе при 600 нм соответствует 0-0-полоса I электронного перехода, полосе при 568 нм, которой соответствует резкий минимум ( $P=6\%$ ) в поляризационном спектре, соответствует 0—0-полоса II электронного перехода. По-видимому, I и II переходы поляризованы перпендикулярно, однако предельная степень поляризации — 1/3 для взаимно перпендикулярно-ориентированных осцилляторов не достигается вследствие перекрытия 0—0-полосы II перехода с вибронной полосой I перехода, имеющей положительную поляризацию. Максимумы вибронных 0—1-полос I и II электронного перехода расположены при 550 и 525 нм соответственно. Высокая положительная степень поляризации димера VO-этио при возбуждении в длинноволновой полосе поглощения может быть объяснена аналогично случаю Cu-родопорфирина, исследованному нами недавно [15] с помощью развивающихся Эйком и Гоутерманом [16] представлений о триплетном характере фосфоресцентных состояний Cu и VO порфиринов. В связи с наличием у ионов  $\text{Cu}^{2+}$  и  $\text{VO}^{2+}$  неспаренного электрона синглетные состояния являются фактически дублетными ( $S=1/2$ ), а триплетные расщепляются на дублетные и квартетные ( $S=-1/2, +3/2$ ). Условно их можно обозначить  $^2S$ ,  $^2T$  и  $^4T$ . Согласно [16], при не слишком низкой температуре (77 К и выше) фосфоресцентным уровнем является  $^2T_1$ . Это состояние смешивается с синглетным состоянием не спин-орбитальным, а электростатическим взаимодействием. Поскольку оператор  $e^2/r_{ij}$  является полносимметричным, смешиваются состояния одинаковой симметрии, т. е. могут смешиваться состояния  $^2S_n$  и  $^2T_1$ , имеющие одинаковую симметрию координатной волновой функции. Высокая положительная поляризация означает, что димер обладает симметрией  $C_{2v}$  или  $C_{2h}$ . В данном случае смешиваются только состояния, принадлежащие к одному и тому же неприводимому представлению группы  $C_{2v}(C_{2h})$ , что и дает высокую положительную поляризацию. В случае симметрий  $C_1$ ,  $C_s$ ,  $C_i$ ,  $C_2$  разрешено смешение всех ( $\pi\pi^*$ ) состояний  $^2S$ , поляризованных по различным направлениям, и  $^2T_1$ , что привело бы к значительно более низким значениям степени поляризации. Таким образом, из анализа экспериментальных данных следует, что димер VO-этио должен иметь симметрию второго порядка  $C_{2v}$  или  $C_{2h}$  и в димере разрешен переход лишь в одно экситонное состояние. Обоим требованиям

удовлетворяет димер, имеющий следующую структуру: молекулы в димере расположены параллельно друг другу на расстоянии около 3.5 Å и смещены одна относительно другой приблизительно на 2 Å.

### Литература

- [1] М. П. Цвирко, К. Н. Соловьев. Ж. прикл. спектр., 20, 115, 1974.
- [2] V. Czikkely, N. D. Forsterling, H. Kuhn. Chem. Phys. Lett., 6, 207, 1970.
- [3] N. S. Hush, I. S. Woolsey. Mol. Phys., 21, 465, 1970.
- [4] М. П. Цвирко, К. Н. Соловьев, А. Т. Градюшко, С. С. Дворников. Опт. и спектр., 38, 705, 1975.
- [5] В. А. Машенков, К. Н. Соловьев, Г. Д. Егорова. Ж. прикл. спектр., 5, 202, 1965.
- [6] Г. П. Гуринович, А. Н. Севченко, К. Н. Соловьев. Спектроскопия хлорофилла и родственных соединений. «Наука и техника», Минск, 1968.
- [7] И. Е. Залесский, В. Н. Котло, К. Н. Соловьев, С. Ф. Шкирман. Ж. прикл. спектр., 29, 1010, 1974.
- [8] А. С. Давыдов. Теория поглощения света в молекулярных кристаллах. Тр. Инст. физики АН СССР. Изд. АН УССР, Киев, 1951.
- [9] I. Jr. Tinoco. Radiation Res., 20, 135, 1963.
- [10] P. D. W. Boyd, T. D. Smith, L. H. Price, J. R. Pilbrow. J. Chem. Phys., 36, 1253, 1972.
- [11] L. E. Webb, E. B. Fleischner. J. Chem. Phys., 43, 3100, 1965.
- [12] J. M. Robertson. J. Chem. Soc., 615, 1935, 1195, 1936.
- [13] А. Н. Севченко, К. И. Соловьев, В. А. Машенков, С. Ф. Шкирман, А. П. Лосев. ДАН СССР, 175, 797, 1967.
- [14] Г. Д. Егорова, В. А. Машенков, К. Н. Соловьев, Н. А. Юшкевич. Биофизика, 18, 40, 1973.
- [15] А. Т. Градюшко, К. Н. Соловьев, М. П. Цвирко. Опт. и спектр., 41, 57, 1976.
- [16] R. L. Ake, M. Gouterman. Theor. Chim. Acta, 15, 20, 1969.

Поступило в Редакцию 24 июня 1975 г.